

В. И. РУДСКИЙ, канд. техн. наук,
Полтавский инженерно-строительный институт,
Л. Н. ПЕРОВИЧ, канд. техн. наук,
Ивано-Франковский институт нефти и газа

О ПОСТРОЕНИИ ХОДОВ ПРОСТРАНСТВЕННОЙ ПОЛИГОНОМЕТРИИ

В настоящее время определенную известность получили некоторые методы пространственной геодезии [2]. В частности, стали известны методы и формулы пространственной триангуляции, позволяющие определять пространственные координаты пунктов [1] и по данным геодезических измерений передавать вдоль сети, например с пункта 1 на пункт 2, астрономические координаты и азимуты [6]:

$$\left. \begin{aligned} \sin \varphi_2 = & -\sin \varphi_1 \cos(z_{12} + z_{21}) - \cos \varphi_1 [\cos z_{12} \sin \times \\ & \times (z_{12} + z_{21}) + \frac{\gamma''_{12}}{\rho''} \sin \alpha_{12} \sin z_{21}]; \\ \sin \lambda_{12} = & \frac{-\sin \alpha_{12} \sin(z_{12} + z_{21}) + \frac{\gamma''_{12}}{\rho''} \cos \alpha_{12} \sin z_{21}}{\cos \varphi_2}; \\ \sin \alpha_{21} = & - \\ \cos \varphi_1 \left(\sin \alpha_{12} - \frac{\gamma''_{12}}{\rho''} \cos \alpha_{12} \cos z_{12} \right) + \frac{\gamma''_{12}}{\rho''} \sin \varphi_1 \sin z_{12} & ; \end{aligned} \right\} \quad (1)$$

$$\gamma_{12} = K_{13} - K_{23}; \quad (2)$$

$$\left. \begin{aligned} \cos K_{13} = & \frac{\cos z_{13} - \cos z_{12} \cos A_1}{\sin z_{12} \sin A_1}; \\ \cos K_{23} = & \frac{\cos z_{23} - \cos z_{21} \cos A_2}{\sin z_{21} \sin A_2}, \end{aligned} \right\} \quad (3)$$

где z — зенитные расстояния соответствующих направлений; A — плоские углы, вычисляемые по измеренным углам и зенитным расстояниям

$$\left. \begin{aligned} \cos A_1 = & \cos z_{12} \cos z_{13} + \sin z_{12} \sin z_{13} \cos \alpha_1; \\ \cos A_2 = & \cos z_{21} \cos z_{23} + \sin z_{21} \sin z_{23} \cos \alpha_2. \end{aligned} \right\} \quad (4)$$

Как видно из формулы (1), значения астрономических координат и азимута зависят в основном от положения в пространстве ходовой линии 1—2 и отвесных линий на ее концах. Остальные геометрические параметры (форма треугольника, т. е. его горизонтальные углы, зенитные расстояния), как это

видно из формул (2) и (3), содержится в небольшом угле γ_{12} между взаимными вертикальными плоскостями на линии 1—2.

Формулы (1) позволяют также видеть качественную характеристику влияния геометрической формы примычного пространственного треугольника на определяемые величины*. Так, чем ближе к меридиану направление передачи, тем меньше влияет форма треугольника на определение ϕ и, наоборот, больше ее влияние на разность долгот λ_{12} . При $\lambda_{12}=90^\circ(270)^\circ$ влия-

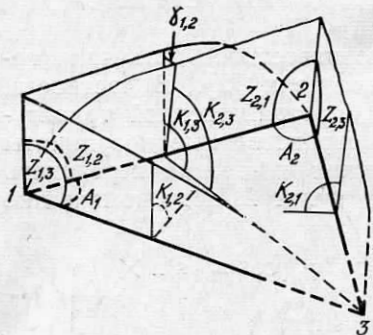


Рис. 1. Примычный пространственный треугольник.

Развитие и совершенствование радиофизических методов определения расстояний позволило в геодезическом производстве наряду с триангуляцией широко применять полигонометрию. Известно, что в ряде случаев полигонометрия экономически и технически более выгодна, чем триангуляция, поскольку позволяет лучше использовать рельеф местности, значительно уменьшать высоты знаков и в большей степени варьировать длинами сторон. Поэтому, как и в триангуляции, возникает необходимость рассмотреть малоизученный вопрос о построении пространственных полигонометрических ходов, измерения в которых дают возможность получить три координаты для каждой его точки.

Обращаясь к формулам (1)–(2), видим, что, несмотря на использование при передаче астрономических данных примычного пространственного треугольника, измерения в третьем, боковом его пункте отсутствуют. Это указывает на необходимость пункта лишь для того, чтобы вместе с ходовой линией создать некоторую опорную плоскость, в которой находятся примычные направления. Относительно этой плоскости углы K_{13} и K_{23} определяют положения двух взаимно вертикальных плоскостей по линии передачи 1–2 (рис. 1). Поэтому, применив формулы (1) по некоторой линии, в общем случае совершенно нет надобности иметь в стороне от этой линии какой-либо

ние формы треугольника обратное: в определении широты оно максимальное, а в определении разности долгот отсутствует. При передаче азимута в любом направлении геометрическая форма примычного треугольника влияет, однако тем меньше, чем ближе направление к 1-му вертикалу.

Количественная оценка влияния формы треугольника с использованием дифференциальных формул была выполнена в работе [3].

* Под геометрической формой пространственного треугольника следует понимать значения его плоских углов и зенитных расстояний направлений

пункт. Важно зафиксировать боковую опорную плоскость, в которой находятся примычные направления. Главным для трех направлений (ходовой линии и двух примычных), как отмечалось ранее [5], должно быть условие компланарности.

Рассмотрим теперь формулы погрешностей величин φ_2 , λ_{12} , a_{21} . Предполагая, что исходные астрономические данные имеют точные значения, погрешности запишем в таком виде [3]:

$$\left. \begin{aligned} \Delta\varphi_2 &= -\cos a_{21}(\Delta z_{12} + \Delta z_{21}) + \sin a_{21} \sin z_{21} \Delta\psi; \\ \Delta\lambda_{12} &= -\sin a_{21} \sec \varphi_2 (\Delta z_{12} + \Delta z_{21}) - \cos a_{21} \sec \varphi_2 \sin z_{21} \Delta\psi; \\ \Delta a_{21} &= -\sin a_{21} \operatorname{tg} \varphi_2 (\Delta z_{12} + \Delta z_{21}) - \\ &\quad - (\cos a_{21} \operatorname{tg} \varphi_2 \sin z_{21} - \cos z_{21}) \Delta\psi. \end{aligned} \right\} \quad (5)$$

Здесь $\Delta\psi$ — функция погрешностей измеренных величин в примычном пространственном треугольнике. Она может быть записана так:

$$\begin{aligned} \Delta\psi = & -k_1 \Delta z_{12} + k_2 \Delta z_{13} + k_3 \Delta a_1 + \\ & + k'_1 \Delta z_{21} - k'_2 \Delta z_{23} - k'_3 \Delta a_2. \end{aligned} \quad (6)$$

Точные значения коэффициентов при погрешностях:

$$\left. \begin{aligned} k_1 &= \sin K_{13} \operatorname{ctg} A_1; \quad k_2 = \frac{\sin K_{12}}{\sin A_1}; \quad k_3 = -\frac{\sin z_{13} \cos K_{12}}{\sin A_1}; \\ k'_1 &= \sin K_{23} \operatorname{ctg} A_2; \quad k'_2 = \frac{\sin K_{21}}{\sin A_2}; \quad k'_3 = -\frac{\sin z_{23} \cos K_{21}}{\sin A_2}. \end{aligned} \right\} \quad (7)$$

В этих формулах K , согласно рис. 1, — углы между соответствующими вертикальными плоскостями и плоскостью треугольника.

Анализируя коэффициенты при погрешностях K , обнаруживаем, что $\Delta\psi$ тем меньше, чем ближе к прямым углы A и чем больше отличаются от прямых углы K . Это приводит к следующему заключению.

Наиболее выгодные условия для применения формул (1) — такие, когда линия передачи некоторого геометрического построения максимально наклонена, а боковые примычные направления будут составлять с нею углы, близкие к 90° и находиться в плоскости максимально приближенной к вертикальной.

Все это ограничивает применение формул (1) для построений преимущественно в горных районах или на местности со сколько-нибудь значительными формами рельефа.

Поэтому наилучшее геометрическое построение представляется в виде отдельных кругонаклонных отрезков, соединенных в ходовую линию, положенную по водоразделу или водосливу; в стороне от отрезков на значительных расстояниях и в наклонных плоскостях находятся засекаемые точки (рис. 2).

Для использования подобных геометрических построений в равнинной местности, когда углы K близки к 90° , к точности измерения зенитных расстояний должны быть предъявлены повышенные требования.

В необжитых закрытых и полузакрытых районах на боковых засекаемых точках визирными целями могут быть визирные цилиндры разборных деревянных и металлических пирамид, визирные цели существующих геодезических знаков, в насе-

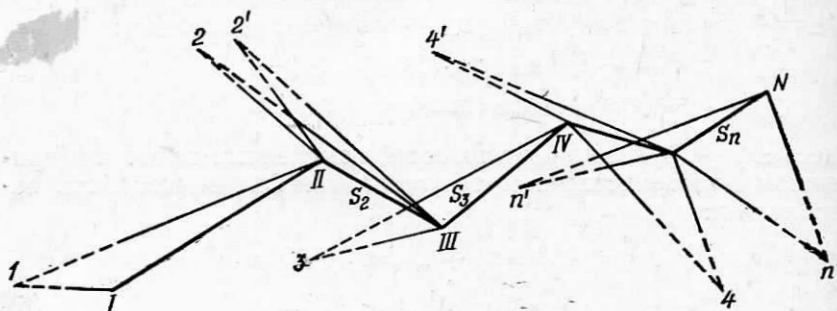


Рис. 2. Схема пространственного полигонометрического хода.

ленных пунктах — достаточно устойчивые и хорошо видимые предметы местности (шпили зданий и сооружений, церквей, колоколен, башен, мачт ЛЭП и т. п.). При этом, как показали исследования [3], визирные цели нужно выбирать так, чтобы горизонтальные углы при ходовой линии были, если и не близки к прямым, то не меньше 40° .

Для определения пространственных прямоугольных координат точек предлагаемого построения в нем дополнительно при помощи радиофизических дальномеров необходимо измерить длины S отрезков ходовой линии. В этом случае, помимо основных, временными центрами можно закреплять и боковые пункты с тем, чтобы в дальнейшем их координаты использовать при решении различных народнохозяйственных задач, и, в частности в качестве съемочного обоснования при картографировании данной территории.

Такое построение можно рассматривать как ход пространственной полигонометрии. Боковые засечки в нем не служат некоторым добавлением, как это может наблюдаться в «плоской» полигонометрии, а является органически связанным элементом пространственного построения.

Обработкой пространственных полигонометрических ходов занимается Рамзайер [7], [8]. Однако он использует ходы, в которых помимо геодезических измерений (горизонтальных углов, углов наклона, длин линий) для фиксирования отвесных линий в каждом пункте или через один измеряются астрономические координаты, а для ориентирования — азимуты начального и конечного направлений хода. Построение таких ходов —

весьма трудоемкая и дорогостоящая задача, поскольку астрономические определения все еще остаются наиболее сложным процессом астрономогеодезических работ. Поэтому эти ходы следует заменять ходами с боковыми засечками и для их обработки использовать формулы (1) передачи астрономических величин.

Если в начальном I и конечном N пунктах пространственного полигонометрического хода (рис. 2) имеются точные значения астрономических координат φ , λ и азимута a , то в таком ходе возникают условные уравнения величин φ , a и a .

Если с концов какой-либо стороны хода засечь не одну, а две боковые визирные цели, то по такой стороне возникает условное уравнение угла γ .

Приведенный анализ [4] показывает, что дополнительное включение в уравнивание условных уравнений углов γ улучшает качество функций уравненных величин. Поэтому, по возможности, необходимо с концов каждой линии хода засекать не менее двух боковых визирных целей. Эти цели могут располагаться как по одну сторону (точки 2 и 2', рис. 2), так и по обе стороны (точки 4, 4' и n, n') от ходовой линии.

Перечисленные условные уравнения являются тем существенным дополнением, которое отличает пространственную полигонометрию от «плоской».

Боковые пункты при засечке каждого из трех и более пунктов ходовой линии, как и в обычной полигонометрии, могут надежно контролировать измерения в пространственном полигонометрическом ходе.

Список литературы: 1. Еремеев В. Ф., Юркина М. И. Некоторые вопросы обработки пространственных сетей. — Тр. ЦНИИГАиК, 1966, вып. 171. 2. Еремеев В. Ф., Юркина М. И. Теория высот в гравитационном поле Земли. — Тр. ЦНИИГАиК, 1972, вып. 191. 3. Перовиц Л. Н. О выгоднейшей форме треугольника для передачи астрономических координат и азимута в звене пространственной триангуляции. — Геодезия, картография и аэрофотосъемка, 1974, вып. 20. 4. Перовиц Л. Н. Передача астрономических координат и азимута по горизонтальным и вертикальным углам, измеренным в периоды спокойных изображений. — Геодезия, картография и аэрофотосъемка, 1977, вып. 26. 5. Рудский В. И. Передача астрономических координат с одного пункта на другой. — Геодезия, картография и аэрофотосъемка, 1965, вып. 2. 6. Рудский В. И. Некоторые обобщения формул передачи астрономических координат и азимута. — Геодезия, картография и аэрофотосъемка, 1976, вып. 4. 7. Ramsayer K. Dreidimensionaler Polygonzug im geozentrischen Koordinatensystem. — Zeitschrift für Vermessungswesen 1970, № 11. 8. Ramsayer K. Raumpolygonzug mit Sprungstandbeobachtungen. — Zeitschrift für Vermessungswesen, 1974, № 1.

Работа поступила 3 января 1978 года. Рекомендована кафедрой прикладной геодезии геологоразведочного факультета Ивано-Франковского института нефти и газа.